LIMNOCHEMISCHE UNTERSUCHUNGEN AM FUSCHLSEE 1979

Water chemistry and nutrients in Fuschlsee 1979

Johannes HASLAUER jr.

Abstract:

Monthly vertical distribution of secchi-depth, temperature, pH, conductivity, oxygen concentration and saturation, NO $_3$, NO $_2$, NH $_4$, PO $_4$, and total phosphorous in Fuschlsee has been investigated. Mean secchi-depth was 5,6 m with maximum 9 m and minimum 3 m. During spring overturn the lake was well oxigenated with 96 % near the bottom till end of April. After summer stratification oxygen depletion near the ground (0,1 mg $_2$ /1) was observed. Autumnal overturn saturated the lake up to 80 % Nutrient input was high during melting of the ice-cover in March. Blooms of Dinobryon in the surface layers and Oscillatoria in 12 m depth gave two vertical maxima of particulate phosphorous concentration in summer. Nitrogen seemed to be a growth-limiting nutrient beside phosphorous in Fuschlsee.

A water budget and nutrient bilance will be presented in autumn 1980.

Einleitung:

Die im Jahre 1978 begonnene Bilanzierung der Nährstoffe Phosphor und Stickstoff im Fuschlsee und seinem Einzugsgebiet wurde 1979 weitergeführt. Vom Untersuchungsjahr liegen 14-tägige oder monatliche Vertikalprofile von den zwei Seebecken vor. Gleichzeitig wurden Probenentnahmen im Einzugsgebiet, an den Oberflächenzubringern, vom Niederschlag, dem Grundwasser und dem Seeausrinn (Fuschler Ache) durchgeführt.

Folgende Parameter wurden untersucht: Sichttiefe,
pH, Leitfähigkeit, Temperatur, Sauerstoff, Eisen, PO4,
gesamt löslicher Phosphor, Totalphosphor, partikulärer
Phosphor, Ammonium, Nitrit, Nitrat, gesamt löslicher
Stickstoff, Totalstickstoff, partikulärer Stickstoff,
Chlorophyll a, b, c, Primärproduktion zu den verschiedenen
Jahreszeiten sowie fallweise Alkalinität, Calcium,
Magnesium und Chlorid. Gleichzeitig mit der chemischen
Probenentnahme wurden Entnahmen von Phyto- und Zooplanktonproben vorgenommen. Diese Untersuchungen sind zum Teil
abgeschlossen und werden an anderer Stelle vorgelegt
(Dr. Dokulil, Dr. Moog, Dr. Pum).

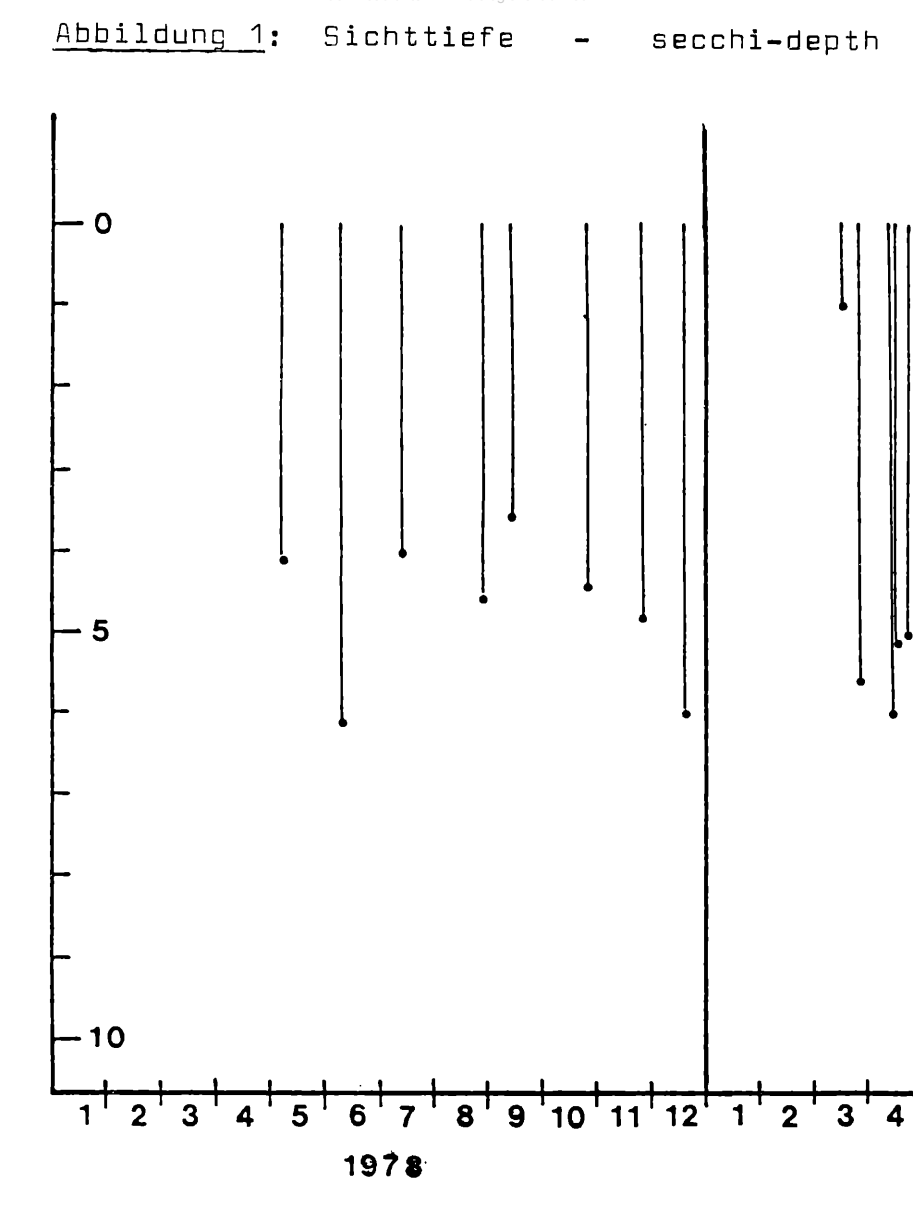
Eine möglichst umfassende Aufnahme der Wasserbilanz soll die Berechnung der jeweiligen Frachtwerte und dadurch die Nährstoffbilanzierung ermöglichen. Die vollständige Auswertung aller Daten wird bis Ende 1980 vorliegen.

Ergebnisse:

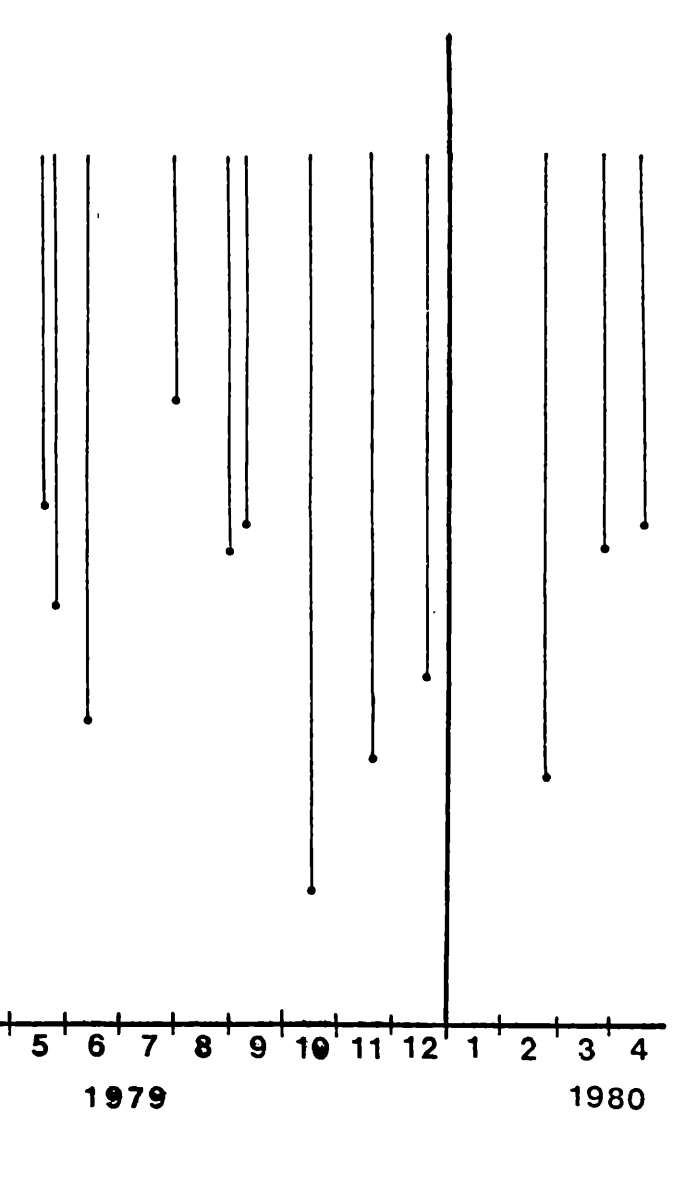
Sichttiefe

Die mittlere Sichttiefe 1979 betrug an der tiefsten Stelle in der Ostbucht 5,6 m. Die maximale Sichttiefe wurde am 14.0ktober mit 9,0 m, die minimale am 31.Juli mit 3,0 m gemessen (Abb. 1). Von Dezember 1978 bis 14.3.1979 war der See vollständig mit Eis bedeckt. Bis Mai wurde die Sichttiefe von der Verteilung der Kieselalgen in den obersten fünf Metern bestimmt. Im Juni erhöhte sich die Sichttiefe gleichzeitig mit dem temperaturbedingten Absinken der Diatomeen, die im Juli völlig aus dem See verschwanden. Das Minimum von drei Meter Sichttiefe im Juli – ein Meter Sichttiefe am 14.3. war durch den Eisbruch bedingt – kann durch eine Massenentwicklung von Dinobryon in den obersten zwei Metern erklärt werden. Die Zunahme der Sichttiefe bis September ging parallel mit dem Abnehmen von Dinobryon, die ab Oktober nicht mehr auftraten.

Da Oscillatoria das ganze Jahr über zwischen 12 und 14 Meter eine konzentrierte Schicht bildete, war im Oktober eine maximale Sichttiefe von neun Metern erreicht. Die Abnahme der Sichttiefe gegen den Dezember hin erklärt sich mit dem neuerlichen Auftreten der Kieselalgen und der durch die Durchmischung bedingten gleichmäßigen Verteilung der Oscillatoria.







Temperatur

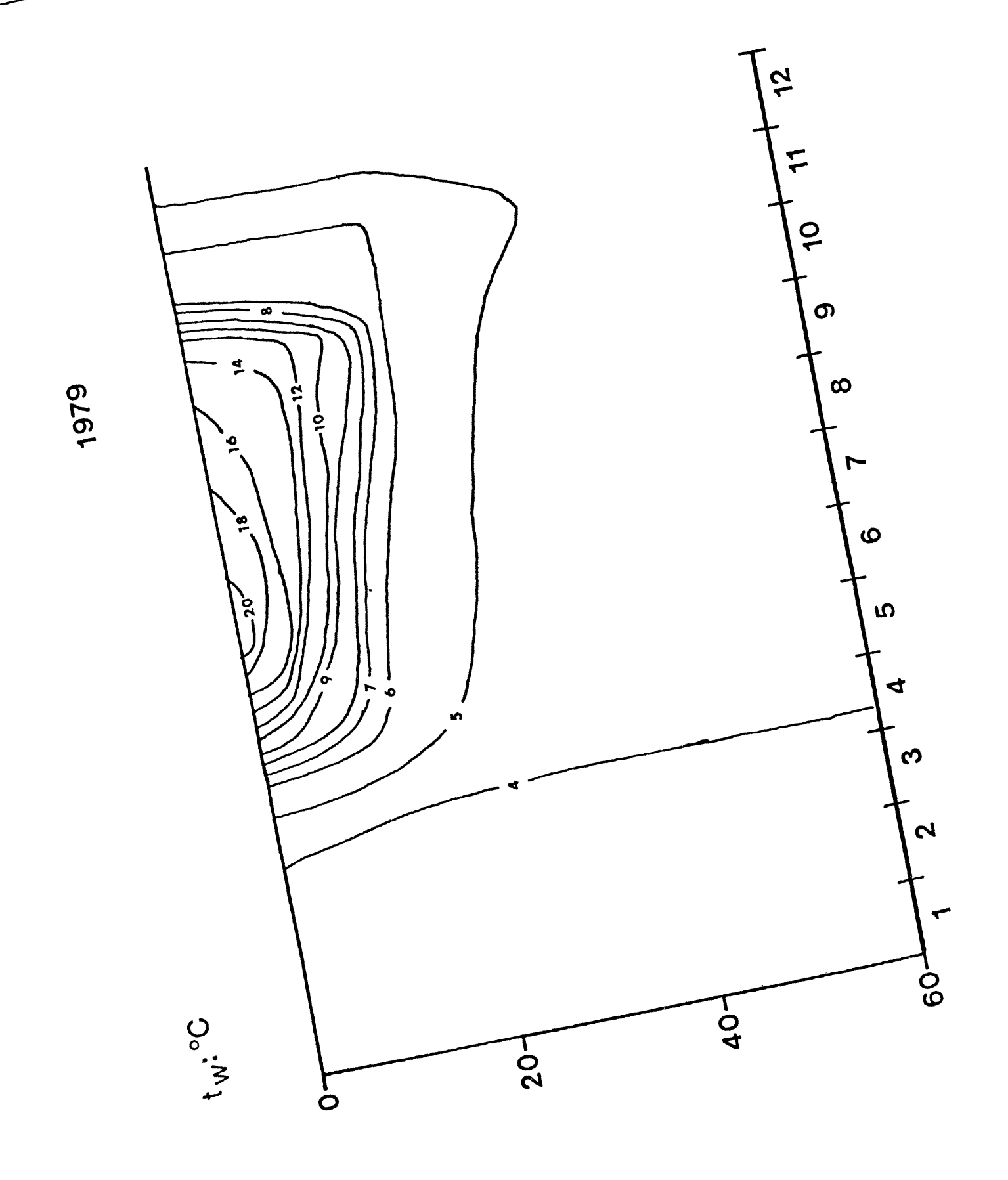
Nach der Frühjahrszirkulation blieb der See bis Mitte
April völlig durchmischt. Ende April setzte eine leichte
Erwärmung von der Oberfläche her ein. Im Juni wurden die
höchsten Oberflächentemperaturen erreicht, ein ausgeprägter
Temperatursprung war bei sechs Meter anzutreffen. Infolge
des schlechten Wetters sank die Oberflächentemperatur im
Juli ab. Die Sprungschicht befand sich in zehn Meter Tiefe
und blieb von August bis Oktober in etwa 12 Meter deutlich
ausgebildet. Ab Mitte November setzte die Herbstzirkulation
ein, im Dezember war der See in allen Tiefenstufen homotherm (Tab. 1, Abb. 2)

pH, Leitfähigkeit

Ab Mai baute sich ein pH-Gefälle zum Grund hin aus, das im Oktober (Oberfläche: 8,46; 60 m: 7,48) am stärksten ausgeprägt war. Diese Entwicklung ging parallel mit der zunehmenden Produktion im Epilimnion im Sommer und der vermehrt auftretenden Zersetzungs- und Fäulnisprozesse der absterbenden Algen am Grund. Die an der Oberfläche etwas geringeren pH-Werte sind auf Luftkontakt mit sauer reagierenden Schadstoffen (hauptsächlich nitrose Gase, SO₂) zurückzuführen (Tab. 2)

Die spezifische elektrische Leitfähigkeit zeigte im April gegenüber März etwas niedrigere Werte an, was

Abbildung 2: Temperatur - Isoplethen



auf die Inkorporation ionogener Substanzen, besonders durch Diatomeen, sowie auf den Verdünnungseffekt durch Schmelzwasser zurückzuführen war. Der Anstieg im Mai wird durch zusätzlichen Eintrag von Elektrolyten (2. Düngeperiode) und die beim Absterben von Organismen (Diatomeen) freiwerdenden ionogenen Substanzen erklärt. Die Zunahme der Leitfähigkeit ab Juni im Hypolimnion wurde durch absterbende Organismen hervorgerufen. Die geringeren Konzentrationen im August lassen auf vermehrte Inkorporation durch 81au- und Grünalgen und vermehrt auftretenden 81ütenpflanzen schließen. Das im November erreichte Jahresmaximum (270-310 Mikrosiemens) wurde durch das Absterben der im Oktober und November zahl-reich gewesenen Organismen hervorgerufen. Im Dezember trat das Jahresminimum auf (Tab. 3).

Sauerstoff

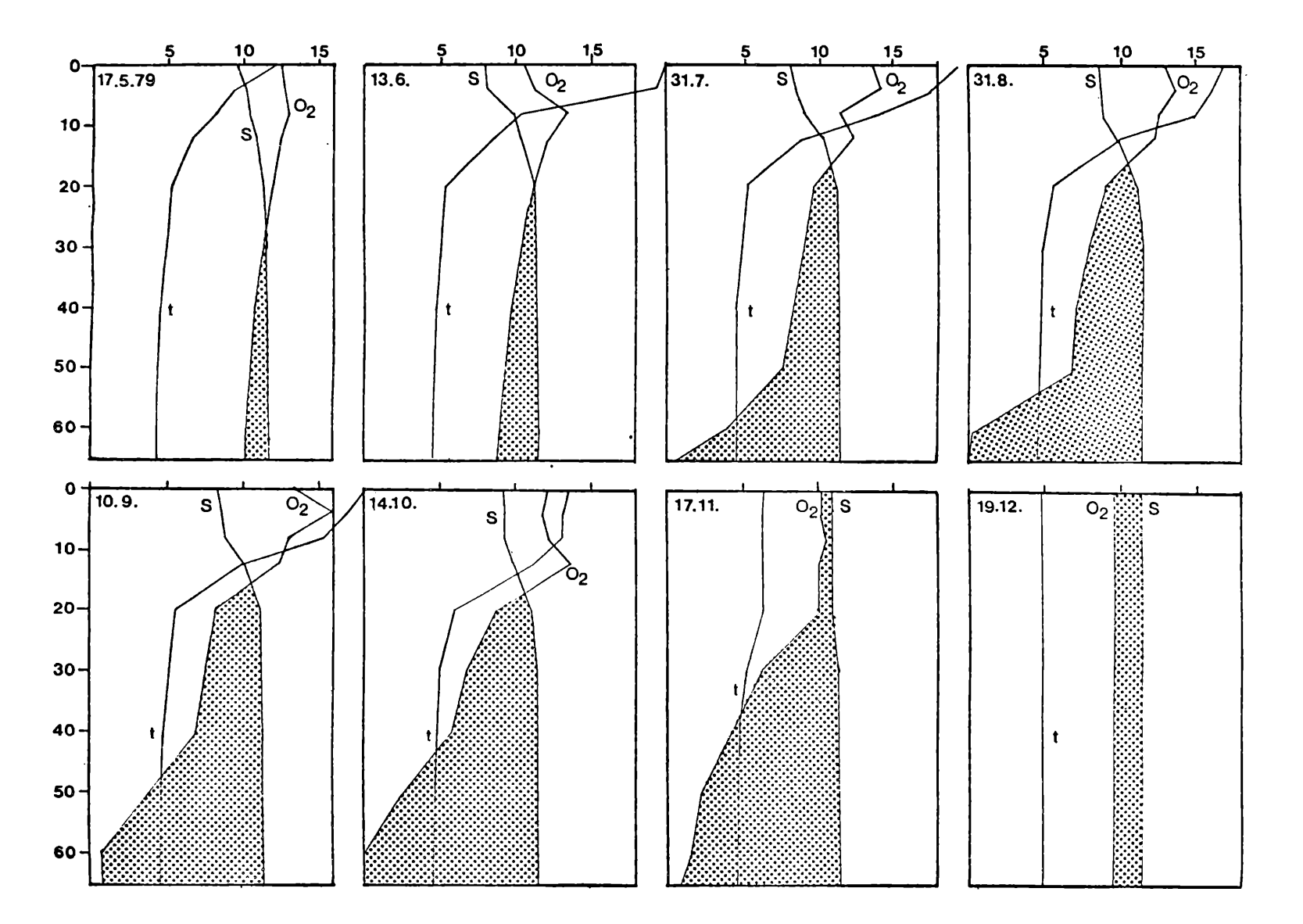
Der Vergleich der Sauerstoffwerte (${\rm O_2}$ -Defizit, ${\rm O_2}$ -Index) zeigt für 1979 im wesentlichen gleiche Verhältnisse wie im Jahr 1978.

Ende April bis Anfang Mai war der gesamte Wasserkörper des Sees infolge der Frühjahrszirkulation vollständig durchmischt und wies in Bodennähe Sättigungswerte
bis 96 % auf. Mit einsetzender Temperaturschichtung und
Erwärmung der oberen Wasserschichten kam es zu einer
deutlichen Steigerung der Photosyntheseaktivitäten und

damit zu einer Übersättigung im Epilimnion. So wurden zum Beispiel im Juli 166 % Übersättigung gemessen. Andererseits setzt im Hypolimnion eine Sauerstoffzehrung ein, die bis zum Ende der Sommerstagnation zu einem fast völligen Schwund des Sauerstoffes in Bodennähe führte. Die 4 mg-Grenze lag im November bei 40 m. Witterungsbedingt etwas früher als 1978 begann Mitte November die Herbstzirkulation. Die Sauerstoffkonzentrationen erreichten in der Tiefe etwa 80 % des Sättigungswertes. Ein Vergleich der Untersuchungsperiode mit 1978 zeigt. daß im Sommer 1979 im Epilimnion auf Grund der Sauerstoffkonzentrationen eine signifikant stärkere Photosynthese zu beobachten war. Ob diese erhöhte Photosynthese auf eine Vermehrung der Biomasse zurückzuführen ist, kann erst nach Auswertung des Phytoplanktons beurteilt werden (Abb. 3 und 4, Tab. 4 und 5).

Nährstoffe

Der See war bis März mit einer geschlossenen Eisdecke versehen. Beim Auftauen gelangten die im Eis gespeicherten Nährstoffe in den See, wobei Konzentrationen von über 200 Mikrogramm Totalphosphor gemessen wurden. Gleichzeitig erfolgte, bedingt durch die erste Düngung der umliegenden Felder auf dem noch tragfähigen Schnee ein erhöhter Eintrag von Nährstoffen mit dem ersten Schmelzwasser.



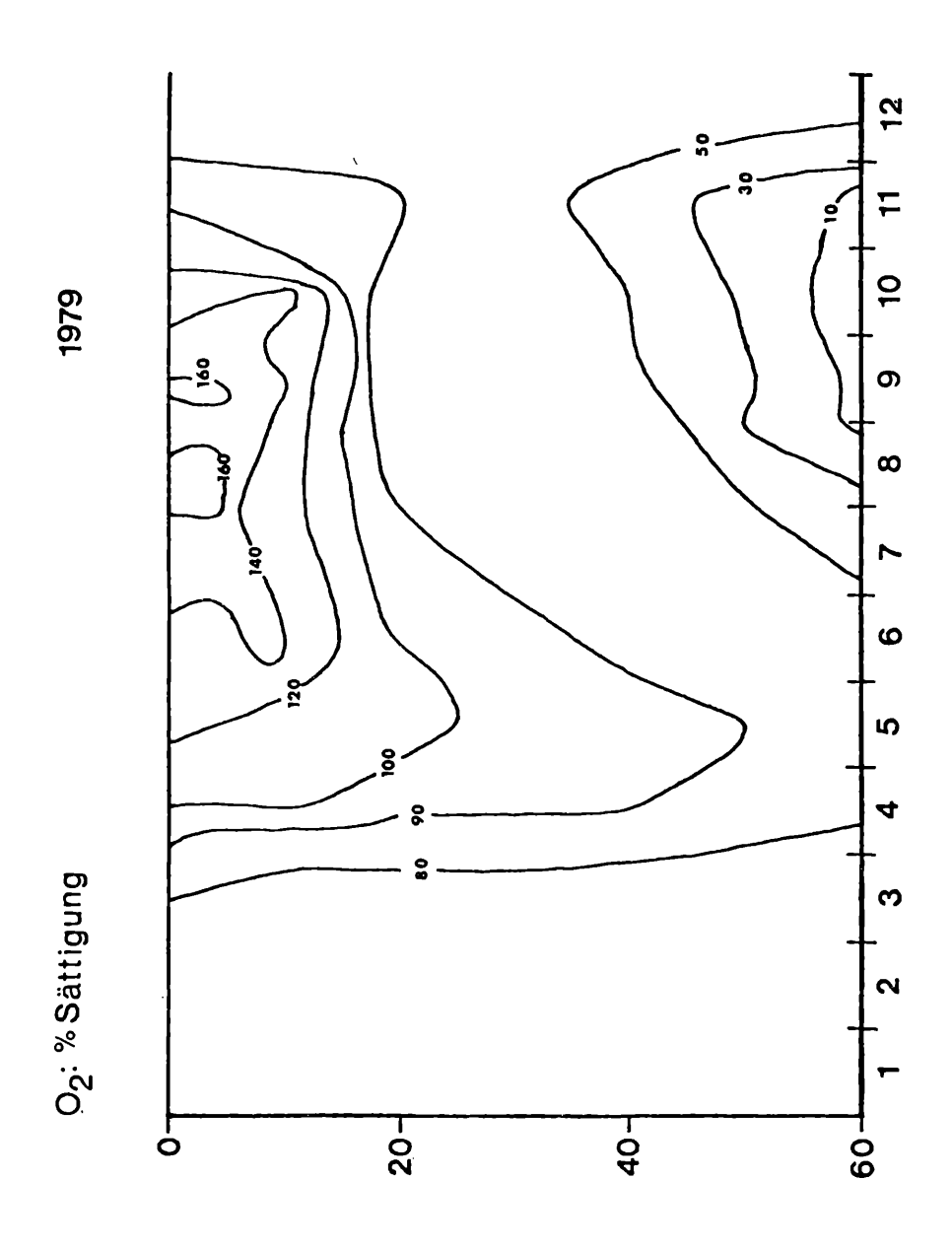


Abbildung 4: Sauerstoffsättigung
Oxygen saturation

Daraus resultierten die höchsten Konzentrationen des
Phosphors im See im Monat März. Auch die erhöhten
Ammoniumwerte sind darauf zurückzuführen. Durch
Auswaschung infolge erhöhten Zu- und Abflusses
bewirkte das weiter zufließende Schmelzwasser einen
Verdünnungseffekt im April. Die Nährstoffkonzentration
nahm deutlich ab und eine leichte Schichtung ließ sich
bereits erkennen. In 12 Meter Tiefe kam es zu vermehrter
Inkorporation von Phosphor was durch Abnahme von Orthophosphat und Zunahme von Totalphosphor belegt wurde.

Im Mai war besonders der Anstieg von Nitrat
bemerkenswert, der auf die noch vollständig ablaufende
Nitrifizierung hinweist. Beim Ammonium kam es zur Ausbildung eines parabolischen Profils mit Maxima an der
Oberfläche und in 60 Meter Tiefe. Der Anstieg des
partikulären Phosphors und der starke Anstieg des
partikulären Stickstoffs wiesen genauso wie die Zunahme
an Chlorophyll und die Zunahme der Biomasse auf eine
starke Populationsentwicklung des Phytoplanktons im
Epilimnion hin.

Im Juni war ein deutlich ausgeprägtes Tiefenprofil erkennbar, wobei es zur Zunahme des partikulären Phosphors kam wenn auch das Angebot von Orthophosphat nicht quantitativ inkorporiert wurde. Unterhalb von zehn Meter fand man höhere Nitratwerte, die auf die Nitrifizierung von bei Fäulnisprozessen entstandenem Ammonium schließen läßt.

Infolqe der starken Vermehrung der Algen wurde ab Juli das Angebot an Orthophosphat sofort verbraucht. Zersetzunqsindizierende Parameter wie Ammonium stiegen im Epilimnion leicht an. Im Juli begann eine starke Abnahme des Nitrats an der Oberfläche bis zu 12 Meter Tiefe. Da keine extreme Steigerung von Nitrit oder Ammonium vorlag, muß angenommen werden, daß in hohem Maße Nitrat inkorporiert wurde. Der Verbrauch des Nitrats im Verlauf des Sommers im Epilimnion ging Hand in Hand mit einer Dinobryonblüte in den oberen Metern. Dies zeigt, daß nicht mehr allein der zur Verfügung stehende Phosphor die Produktion begrenzte, sondern auch die Stickstoffvorräte in der Produktionsschicht merklich angegriffen wurden. Im August lagen die Maxima für Totalphosphor bei O m (Dinobryon) und bei 12 m (Oscillatoria). Der Phosphor lag fast ausschließlich in partikulärer Form vor. Im Epilimnion war ein weiterer Anstieg der Ammonium-Konzentrationen festzustellen. Die starke Zunahme des Nitrit in 60 m Tiefe läßt sich durch die niedere Sauerstoffkonzentration, die die vollständige Umwandlung in Nitrat nicht mehr ermöglichte, erklären.

Auch im September war das Orthophosphat vollständig inkorporiert. Das Maximum des Totalphosphors wurde bei 12 Meter, bedingt durch die dort vorhandene Oscillatoria-schicht, erreicht und wies in 60 m Tiefe ein wieteres Maximum auf, daß durch abgestorbene Organismen, die den

Phosphor noch nicht freigesetzt hatten, hervorgerufen wurde. Die Konzentration von Niträt zeigte im September und Oktober in den obersten acht Metern ein Jahres-minimum. Im Oktober kam es wieder zu einem starken Anstieg von Orthophosphat. Am Grund war deutliche H₂S-Entwicklung zu bemerken. Gleichzeitig erfolgte in 60 Meter Tiefe eine Nitratabnahme.

Mit dem Einsetzen der Herbstdurchmischung im November nahm der partikuläre Phosphor merklich ab. Im Dezember kam es, bedingt durch starke Abnahme der Siomasse, zur Bildung höherer Orthophosphatwerte, wobei der Totalphosphor fast /ausschließlich als Orthophosphat vorlag. Die Nitratwerte nahmen auf Grund des erhöhten Sauerstoffgehaltes wieder zu.

<u>Tabelle 1</u>: Fuschlsee 1979 - Temperatur

| | TIEFE | 24.3. | 21.4. | 17.5. | 13.6. | 31.7. |
|-----------|----------|--------------|---------------|--------------|-----------|--------------|
| | 0 | 4,0 | 5,4 | 12,0 | 20,5 | 19,2 |
| | 4 | 3,9 | 5,2 | 9,4 | 19,3 | 17,4 |
| | 8 | 3,8 | 5,2 | 8,4 | 10,5 | 13,8 |
| | 12 | 3,8 | 5,0 | 6,7 | 8,5 | 8,8 |
| | 20 | 3,8 | 4,5 | 5,2 | 5,2 | 5,3 |
| | 30 | 3,8 | 4,3 | 4,8 | - | 4,8 |
| | 40 | 3,8 | 4,3 | 4,5 | 4,7 | 4,7 |
| | 60 | 3,8 | - | 4,3 | | 4,6 |
| Tabelle 2 | : Fusc | hlsee | 1979 - | ρН | | |
| | 0 | 8,05 | 8,13 | 8,28 | 8,26 | 8,14 |
| | 14 | 8,00 | 8,22 | 8,30 | 8,30 | 8,21 |
| | 8 | 8,00 | 8,16 | 8,30 | 8,34 | 8,08 |
| | 12 | 8,00 | 8,20 | 8,28 | 8,33 | 8,05 |
| | 20 | 8,00 | 8,14 | 8,21 | 8,11 | 7, 79 |
| | 30 | 8,00 | 8,21 | 8,15 | - | 7,76 |
| | 40 60 | 8,00 7,95 | 8,20 - | 8,12 8,06 | 8,04 - | 7,72 7,52 |

| 31.8. | 10.9. | 14.10. | 17.11. | 19.12. |
|-------|-------|--------|--------|--------|
| 16,7 | 18,1 | 13,7 | 6,4 | 4,8 |
| 16,0 | 16,7 | 13,2 | 6,3 | 4,8 |
| 14,9 | 15,3 | 13,1 | 6,3 | 4,8 |
| 10,1 | 9,8 | 11,0 | 6,3 | 4,8 |
| 5,5 | 5,6 | 6,0 | 6,3 | 4,8 |
| 4,8 | - | 5,0 | 5,2 | 4,8 |
| 4,8 | 4,8 | 4,8 | 4,8 | 4,8 |
| 4,6 | 4,7 | 4,6 | 4,7 | 4,8 |
| | | | | |

| 8,32 | 8,38 | 8,46 | 8,08 | 7,92 |
|--------------|--------------|--------------|--------------|--------------|
| 8,38 | 8,46 | 8,56 | 8,14 | 7,51 |
| 8,23 | 8,39 | 8,54 | 3,14 | - |
| 8,09 | 8,16 | 8,45 | 8,14 | 7,50 |
| 7,79 | 7,88 | 7,76 | 8,12 | 7,49 |
| 7,74 | - | 7,74 | 7,85 | - |
| 7,74 7,50 | 7,74 7,58 | 7,70 7,48 | 7,76 7,61 | 7,48 7,47 |

Tabelle 3: Leitfähigkeit (Mikrosiemens, 20 °C) / electric conductivity

| TIEFE | 24.3. | 21.4. | 17.5. | 13.6. | 31.7. | 31.8. | 10.9. | 14.10. | 17.11. | 19.12. |
|-------|-------|-------|-------|-------|-------------|-------|-------|-------------|-------------|--------|
| | | | | | | | | | | |
| 0 | 280 | 271 | 289 | 262 | 250 | 223 | 225 | 225 | 29 0 | 261 |
| 4 | 282 | 271 | 289 | 263 | 260 | 222 | 218 | 232 | 270 | 240 |
| 8 | 282 | 271 | 289 | 269 | 285 | 248 | 248 | 2 32 | 272 | - |
| 12 | 280 | 273 | 289 | 270 | 2 95 | 278 | 293 | 262 | 270 | 242 |
| 20 | 280 | 266 | 289 | 272 | 299 | 284 | 301 | 292 | 270 | 238 |
| 30 | 280 | 270 | 290 | - | 300 | 286 | - | 292 | 295 | - |
| 40 | 280 | 269 | 291 | 272 | 303 | 287 | 304 | 295 | 30 0 | 235 |
| 60 | 283 | - | 291 | - | 310 | 298 | 312 | 310 | 310 | 235 |

<u>Tabelle 4: Sauerstoffgehalt in mg/l / Oxygen concentration in mg/l</u>

| 0 | 9,7 | 11,7 | 12,5 | 10,6 | 13,7 | 13,2 | 13,5 | 12,1 | 10,3 | 9,5 |
|----|-----|------|------|------|------|------|-------|------|------|-----|
| 4 | 9,5 | 11,8 | 12,8 | 11,2 | 14,2 | 13,7 | 16,15 | 11,8 | 10,2 | 9,3 |
| 8 | 9,5 | 11,8 | 13,0 | 14,4 | 11,5 | 12,7 | 13,0 | 12,2 | 10,5 | - |
| 12 | 9,4 | 11,7 | 12,7 | 14,1 | 12,3 | 12,4 | 12,5 | 13,7 | 10,1 | 9,4 |
| 20 | 9,4 | 11,0 | 11,8 | 11,2 | 9,6 | 9,0 | 8,3 | 7,7 | 10,1 | 9,4 |
| 30 | 9,4 | 11,1 | 11,1 | - | 9,0 | 7,9 | - | 6,7 | 6,1 | - |
| 40 | 9,4 | 11,1 | 10,7 | 9,9 | 8,3 | 7,0 | 7,0 | 5,7 | 4,3 | 9,4 |
| 60 | 8,8 | - | 10,1 | - | 4,0 | 0,4 | 0,8 | 0,1 | 1,8 | 9,4 |

Tabelle 5: Sauerstoff-Index in % /

| TIEFE | 24.3. | 21.4. | 17.5. | 13.6. |
|-------|-----------------|-------|-------|-------|
| 0 | 83 [´] | 104 | 131 | 132 |
| 4 | 81 | 105 | 126 | 136 |
| 8 | 81 | 105 | 125 | 145 |
| 12 | 80 | 103 | 117 | 136 |
| 20 | 80 | 96 | 105 | 99 |
| 30 | 80 | 96 | 97 | - |
| 40 | 80 | 96 | 93 | 87 |
| 60 | 75 | _ | 87 | - |
| | | | | |

Oxygen-index in

| 31.7. | 31.8. | 10.9. | 14.10. | 17.11. | 19.12. |
|-------|-------|-------|--------|--------|--------|
| 166 | 153 | 161 | 131 | 94 | 83 |
| 166 | 156 | 187 | 127 | 93 | 82 |
| 125 | 142 | 146 | 131 | 96 | - |
| 119 | 124 | 124 | 140 | 92 | 82 |
| 85 | 80 | 74 | 70 | 92 | 82 |
| 79 | 70 | - | 59 | 54 | - |
| 73 | 61 | 61 | 50 | 38 | 82 |
| 35 | 3 | 7 | 1 | 16 | 82 |
| | | | | | |

<u>Tabelle 6</u>: Orthophosphat in ppb P / PO $_4$ in ppb p

| TIEFE | 24.3. | 21.4. | 17.5. | 13.6. | 31.7. | 31.8. | 10.9. | 14.10. | 17.11. | 19.12. |
|-------|-------|-------|-----------|-------|------------|------------|------------|--------|-----------|--------|
| 0 | 60 | 24 | 32 | 165 | 41 | 16 | 41 | 24 | ú1 | 12 |
| 4 | 30 | 3 | 33 | 31 | «1 | «1 | 41 | 10 | 2 | 19 |
| 8 | 1 | 24 | 9 | 31 | <i>4</i> 1 | 4 1 | 41 | 5 | 2 | - |
| 12 | 16 | 5 | 1 | 31 | 41 | 41 | 41 | 2 | 41 | 10 |
| 20 | 34 | 16 | 41 | 15 | 41 | <i>«</i> 1 | ∉1 | 2 | 5 | 10 |
| 30 | 30 | 19 | 1 | - | 4 1 | «1 | - | 5 | 14 | - |
| 40 | 29 | 17 | 2 | 24 | 41 | 41 | <i>u</i> 1 | 10 | 14 | 17 |
| 60 | 41 | - | 5 | - | <i>«</i> 1 | ~ 1 | 4(1 | 66 | 19 | 16 |

<u>Tabelle 7:</u> Totalphosphor in ppb P / Total phosphorous in ppb P

| 0 | 128 | 27 | 45 | 171 | 10 | 67 | 19 | 70 | 7 | 12 |
|----|-----|----|------------|-----|----|-----|-----|----|----|----|
| 4 | 125 | 41 | 3 3 | 36 | 19 | 25 | 23 | 24 | 14 | 19 |
| 8 | 93 | 52 | 9 | 46 | 13 | 11 | 29 | 19 | 19 | - |
| 12 | 130 | 67 | 20 | 93 | 15 | 31 | 34 | 22 | 10 | 12 |
| 20 | 129 | 49 | 22 | 23 | 16 | 26 | 10 | 27 | 19 | 12 |
| 40 | 138 | 41 | 6 | 32 | 8 | 34 | 19 | 17 | 22 | 19 |
| 60 | 184 | - | 49 | - | 28 | 115 | 140 | 70 | 36 | 16 |

D,

Tabelle 8: Nitrat in ppb N / NO $_3$ in ppb N

| TIEFE | 24.3. | 21.4. | 17.5. | 13.6. | 31.7. |
|-------|-------|-------|-------|-------|--------------|
| 0 | 1260 | 1730 | 2040 | 2940 | 100 |
| 4 | 2120 | 1360 | 3410 | 2670 | 100 |
| 8 | 2720 | 1150 | 1690 | 2630 | 1950 |
| 12 | 1520 | 930 | 2220 | 2670 | 198 0 |
| 20 | 1480 | 1560 | 1650 | 3310 | 2610 |
| 30 | 1650 | 1970 | 1710 | | 3 330 |
| 40 | 820 | 2550 | 3720 | 3020 | 2920 |
| 60 | 2780 | | 3760 | | 2960 |

Tabelle 9: Nitrit in ppb / NO_2 in ppb N

|) | 25 | 8 | 29 | 11 | 21 |
|---|----|---|------------|----|----|
| | 15 | 1 | 28 | 11 | 23 |
| 3 | 10 | 9 | 3 | 9 | 16 |
| ? | 16 | 5 | u 5 | 9 | 18 |
|) | 15 | 7 | 4 5 | 9 | 3 |
|) | 31 | 1 | 1 | - | 3 |
|) | 25 | 3 | 2 | 33 | 3 |
|) | 22 | _ | 10 | _ | 10 |

| 31.8. | 10.9. | 14.10. | 17.11. | 19.12. |
|-------|-------|--------|--------|--------|
| 370 | 39 | 97 | 930 | 2340 |
| 250 | 19 | 39 | 1030 | 2140 |
| 950 | 310 | 78 | 1170 | |
| 800 | 780 | 234 | 1010 | 2320 |
| 1360 | 2240 | 1950 | 1210 | 2200 |
| 1070 | ~- | 2720 | 2140 | |
| 1770 | 1930 | 2690 | 2690 | 2260 |
| 1360 | 1360 | 450 | 1560 | 2510 |

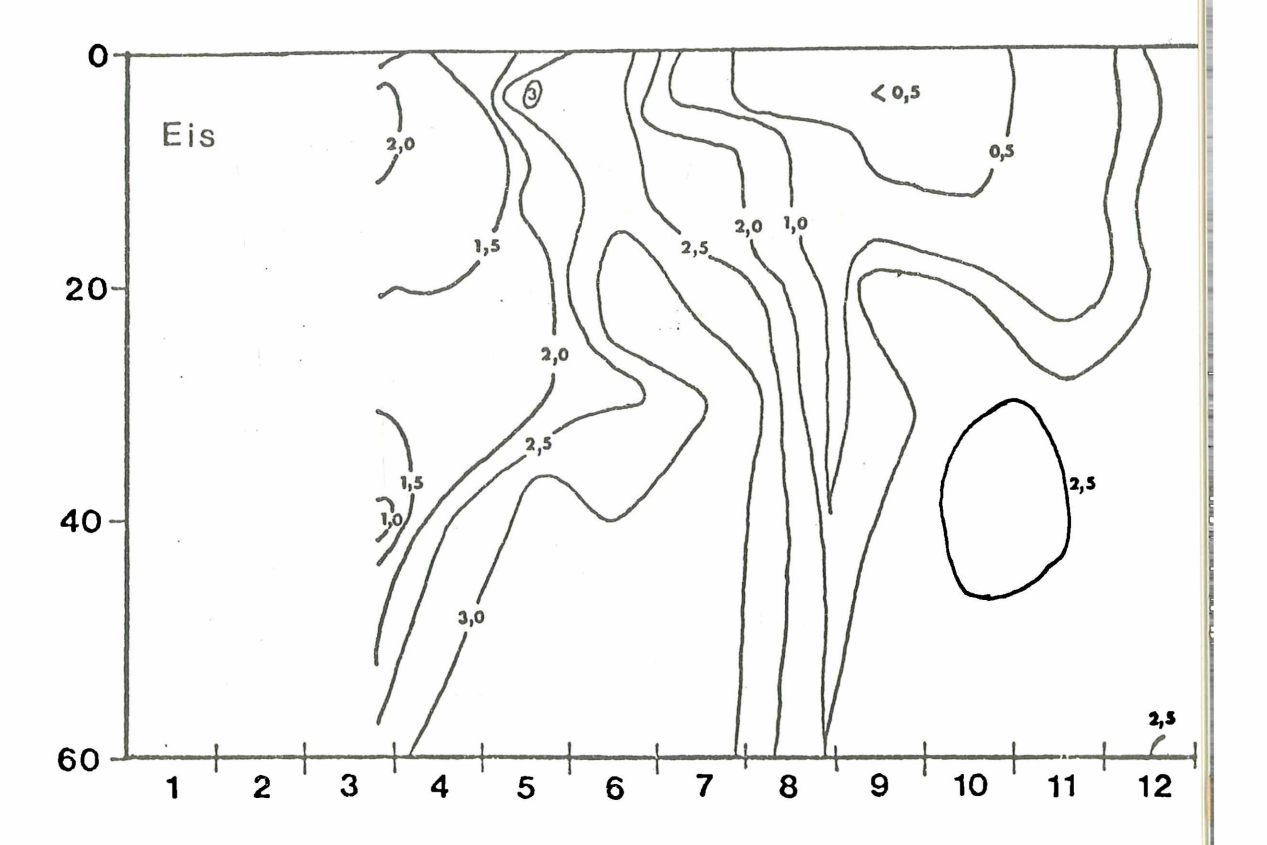
| Tiefe | 24.3. | 21.4. | 17.5. |
|-------|-------|-------------|-------|
| 0 | 14 | 4 5 | 64 |
| 4 | 28 | 4 | 40 |
| 8 | 31 | 4 5 | 41 |
| 12 | 35 | 4 5 | 46 |
| 20 | 36 | 44 5 | 41 |
| 30 | 32 | 1 | 52 |
| 40 | 23 | 9 | 62 |
| 60 | 37 | - | 75 |

9

| 13.6. | 31.7. | 31.8. | 10.9. | 14.10. | 17.11. | 19.12. |
|-------|-------|-------|-------|--------|--------|------------|
| 15 | 55 | 52 | 76 | 36 | 4 | <i>4</i> 5 |
| 19 | 49 | 162 | 53 | 14 | 8 | 4 5 |
| 8 | 53 | 193 | 49 | 24 | 8 | - |
| 15 | 44 | 54 | 54 | 13 | 6 | 4 5 |
| 17 | 44 | 57 | 51 | 8 | 13 | <i>4</i> 5 |
| - | 41 | 63 | - | 6 | 3 | - |
| 22 | 40 | 62 | 64 | 5 | 1 | 45 |
| - | 37 | 161 | 81 | 5 | 15 | 3 |

Abbildung 5: Fuechlsee - NO3 (in ppm)

Nitrat: ppm NO₃ 1979



ZOBODAT - www.zobodat.at

Zoologisch-Botanische Datenbank/Zoological-Botanical Database

Digitale Literatur/Digital Literature

Zeitschrift/Journal: Arbeiten aus dem Labor Weyregg

Jahr/Year: 1980

Band/Volume: <u>4_1980</u>

Autor(en)/Author(s): Haslauer Johann jr.

Artikel/Article: LIMNOCHEMISCHE UNTERSUCHUNGEN AM FUSCHLSEE 1979

Water chemistry and nutrients in Fuschlsee 1979 43-62